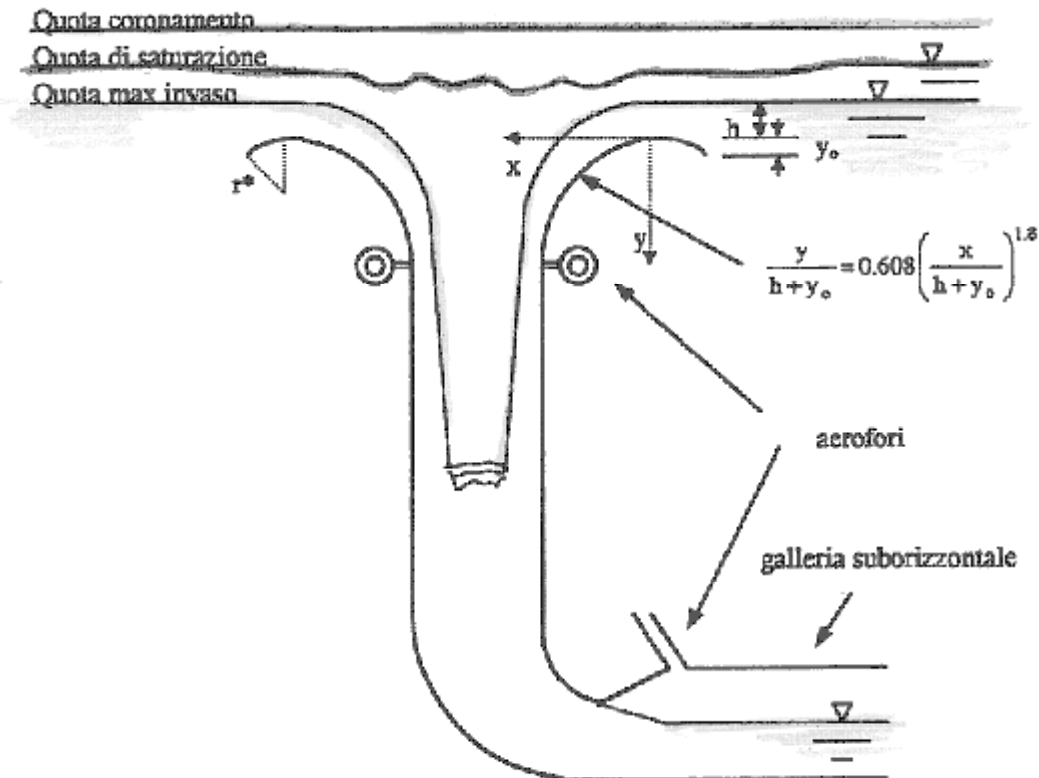


Sfioratori a calice

Gli sfioratori a calice sono dei manufatti particolari che possono funzionare come luce a stramazzo e come luce a battente a seconda dei carichi al di sopra della soglia.

Il passaggio da un tipo di funzionamento all'altro, detto fenomeno di *saturazione* , è governato da fenomeni pneumatici dovuti all'aria trascinata dalla corrente, ed è particolarmente delicato, comportando una diminuzione della portata scaricata a parità di carico idraulico sullo sfioratore.

Il dimensionamento di questo tipo di scaricatore deve essere accurato e basato su una serie di studi sia teorici che sperimentali su modello.



Si dimensiona uno sfioratore a calice, per lo scarico di superficie della diga (descritta sopra) ipotizzando che lo sbarramento sia realizzato in materiali sciolti.

Il fondo della galleria di sbocco del pozzo è suborizzontale di pendenza pari a $i=0.01$ e possiede una sezione rettangolare.

Il dimensionamento della struttura di scarico dovrà condurre ai minimi valori dimensionali che permettano di rispettare le prescrizioni contenute nel R.I.D.

In particolare dovranno essere rispettati i vincoli imposti per gli scaricatori superficiali soggetti a fenomeni di saturazione, per lo smaltimento delle piene nei serbatoi realizzati da sbarramenti in materiale sciolto.

Il dimensionamento procede a tentativi assegnando un valore del raggio R del calice esterno in modo che siano rispettate le verifiche sul franco netto e sulla quota di saturazione per valori minori di R e di r_p (raggio interno del calice)

	Franco netto
Verifiche	
	Quota di saturazione

Tentativo 1

$R := 8 \text{ m}$

Raggio di tentativo

Le caratteristiche geometriche dell'imbocco sono determinate con le formule di Lazzeri:

$$x_o := 0.144 \cdot (h + y_o) + 0.011 \cdot (R + x_o)$$

$$y_o := 0.055 \cdot (h + y_o) + 0.03 \cdot \frac{(h + y_o)^2}{(R + x_o)}$$

Dividendo le equazioni per la quantità $(R+x_o)$ e assumendo che il rapporto $\frac{(h + y_o)}{(R + x_o)}$ sia uguale a

0.25 per $h=h_p$ si ottengono le equazioni:

(h_p è la differenza tra il livello di massimo invaso e la quota del ciglio sulla soglia di sfioro.)

$$\frac{x_o}{(R + x_o)}$$

$$0.144 \cdot 0.25 + 0.011 = 0.047$$

$$= \frac{y_o}{(R + y_o)}$$

$$= 0.055 \cdot 0.25 + 0.03 \cdot 0.25^2 = 0.016$$

$$x_o := \text{root} \left[0.047 - \frac{x_o}{(R + x_o)}, x_o, 0, 1 \right]$$

$$x_o = 0.395$$

$$y_o := \text{root} \left[0.016 - \frac{y_o}{(R + y_o)}, y_o, 0, 1 \right]$$

$$y_o = 0.13$$

Le caratteristiche geometriche dello sfioratore sono necessarie per la determinazione del coefficiente d'efflusso μ e conseguentemente per la determinazione del massimo carico idraulico sullo sfioratore h_p .

Il coefficiente d'efflusso è fornito dalla formula teorico sperimentale su questo tipo di sfioratore.

$$\mu := 0.371 \cdot \left(\frac{R + x_o}{h_p + y_o} \right)^{0.05} \cdot \left(\frac{R + x_o}{h_p + y_o} \right)^{0.05}$$

$$Q_{\max} = 330 \frac{\text{m}^3}{\text{s}}$$

$$h_p := \text{root} \left[Q_{\max} - 0.371 \cdot \left(\frac{R + x_o}{h_p + y_o} \right)^{0.05} \cdot \left(\frac{R + y_o}{h_p + y_o} \right)^{0.05} \cdot 2 \cdot \pi \cdot R \cdot h_p^{\frac{3}{2}} \cdot \sqrt{2 \cdot g}, h_p, 0, 5 \right]$$

$$h_p = 2.322$$

$$\mu := 0.371 \cdot \left(\frac{R + x_0}{h_p + y_0} \right)^{0.05} \cdot \left(\frac{R + y_0}{h_p + y_0} \right)^{0.05}$$

$$\mu = 0.419$$

$$Q_{MI} := Q_{MR} + h_p$$

$$Q_{MI} = 832.922$$

$$Q_{PC} = 837.23$$

$$F := Q_{PC} - Q_{MI}$$

$$F = 4.308$$

Dal R.I.D si ricava la semiampiezza dell'onda pari a 1.03 m, quindi il franco netto da verificare risulta:

$$F_n := F - 1.03$$

$$F_n = 3.278$$

$$F_n > 3.36 = 0$$

Non è verificata quindi si procede con un raggio maggiore dello sfioratore.

Tentativo 2

$$R := 9 \text{ m}$$

Raggio di tentativo

$$x_0 := \text{root} \left[0.047 - \frac{x_0}{(R + x_0)}, x_0, 0, 1 \right]$$

$$x_0 = 0.444$$

$$y_0 := \text{root} \left[0.016 - \frac{y_0}{(R + y_0)}, y_0, 0, 1 \right]$$

$$y_0 = 0.146$$

$$h_p := \text{root} \left[Q_{\max} - 0.371 \cdot \left(\frac{R + x_0}{h_p + y_0} \right)^{0.05} \cdot \left(\frac{R + y_0}{h_p + y_0} \right)^{0.05} \cdot 2 \cdot \pi \cdot R \cdot h_p^{\frac{3}{2}} \cdot \sqrt{2 \cdot g}, h_p, 0, 5 \right]$$

$$h_p = 2.119$$

$$\mu := 0.371 \cdot \left(\frac{R + x_0}{h_p + y_0} \right)^{0.05} \cdot \left(\frac{R + y_0}{h_p + y_0} \right)^{0.05}$$

$$\mu = 0.427$$

$$Q_{MI} := Q_{MR} + h_p$$

$$Q_{MI} = 832.719$$

$$Q_{PC} = 837.23$$

$$F := Q_{PC} - Q_{MI}$$

$$F = 4.511$$

Dal R.I.D si ricava la semiampiezza dell'onda pari a 1.03 m, quindi il franco netto da verificare risulta:

$$F_n := F - 1.03$$

$$F_n = 3.481$$

$$F_n > 3.36 = 1$$

Il raggio verifica il franco netto.

La seconda verifica da effettuarsi nel caso di sfioratore a calice è quella relativa all'quota di saturazione.

Nel caso presente la verifica si riconduce alla determinazione del raggio interno del pozzo r_p .

Il RID (Art.H.4) prevede come quota di saturazione quella di massimo invaso aumentata di due terzi del franco netto.

$$Q_{SAT} := Q_{MI} + \frac{2}{3} \cdot F_n$$

$$h_s := Q_{MI} + \frac{2}{3} \cdot F_n - Q_{MR}$$

$$h_s = 4.44$$

Carico sulla soglia

$$\mu := 0.371 \cdot \left(\frac{R + x_0}{h_s + y_0} \right)^{0.05} \cdot \left(\frac{R + y_0}{h_s + y_0} \right)^{0.05}$$

$$\mu = 0.398$$

$$Q_s := \mu \cdot 2 \cdot \pi \cdot R \cdot h_s^{\frac{3}{2}} \cdot \sqrt{2 \cdot g}$$

$$Q_s = 932.881 \frac{\text{m}^3}{\text{s}}$$

Nella condizione di saturazione devono uguagliarsi le portate derivanti da stramazzo libero e da luce a battente. per il deflusso con luce a battente a valle del gomito si assume un'area A_c pari al 95% dell'area del pozzo.

$$r_p := 3.927$$

$$\eta := 0.59$$

$$A_c := 0.95 \cdot \pi \cdot r_p^2$$

$$r_c := 0.975 \cdot r_p$$

$$\mu_b := 0.90$$

$$y := Q_{MR} - Q_F - r_c$$

$$y = 40.541$$

$$k := 0.001$$

$$\Delta h := k \cdot y \cdot \frac{Q_s^2}{(2 \cdot r_p)^5}$$

$$\Delta h = 1.181$$

$$Q_s - \mu_b \left(0.95 \cdot \pi \cdot r_p^2 \right) \cdot \sqrt{2 \cdot g \cdot \eta \cdot \left[y + h_s - k \cdot y \cdot \frac{Q_s^2}{(2 \cdot r_p)^5} \right]} = 0.162$$

$$\mu_b \left(0.95 \cdot \pi \cdot r_p^2 \right) \cdot \sqrt{2 \cdot g \cdot \eta \cdot \left[y + h_s - k \cdot y \cdot \frac{Q_s^2}{(2 \cdot r_p)^5} \right]} = 932.719$$

Questa condizione fornisce il valore di r_p , pari a 3.92 m.

Nella galleria di scarico suborizzontale di larghezza pari a $2 \cdot r_p$, la portata Q_s di saturazione molto maggiore della portata di progetto, passerà con una altezza di moto uniforme h_u e una velocità media v

$$K_s := 70$$

$$B := 2 \cdot r_p$$

$$B = 7.854$$

$$i_o := 0.01$$

$$i := 0.01$$

$$h_u := \text{root} \left[Q_s - K_s \cdot B \cdot h_u \cdot \left(\frac{B \cdot h_u}{B + 2 \cdot h_u} \right)^{\frac{3}{2}} \cdot i_o^{\frac{1}{2}}, h_u, 1, 8 \right]$$

$$h_u = 5.121$$

$$v := \frac{Q_s}{h_u \cdot B}$$

$$v = 23.195$$

$$h_c := \sqrt[3]{\frac{\left(\frac{Q_s}{B} \right)^2}{g}}$$

$$h_c = 11.288$$

Si dimensiona il canale areoformo, sapendo che il rapporto dell'aria con la portata d'acqua è pari a

$$\beta = 0.03 \cdot (F_r - 1)^{1.06}$$

Il numero di Froude viene calcolato in corrispondenza della sezione contratta, pari a $0.90 A_c$

$$F_r := \frac{Q_s}{(0.90 \cdot A_c) \cdot \sqrt{g \cdot \frac{(0.9 \cdot A_c)}{2 \cdot r_p}}}$$

$$F_r = 3.131$$

$$\beta := 0.03 \cdot (F_r - 1)^{1.06}$$

$$\beta = 0.067$$

$$Q_{aria} := Q_s \cdot \beta$$

$$Q_{aria} = 62.408 \frac{m^3}{s}$$

Ipotizzando una canna circolare con velocità pari a 50 m/s (campo tra 40-100), ottengo il diametro:

$$v_{aria} = 50 \frac{m}{s}$$

$$D_{aria} = \sqrt{\frac{4 Q_{aria}}{\pi v_{aria}}}$$

$$D_{aria} = 1.261 \text{ m}$$